



Laboratorium EMVO Sp. J. Urbański, Pawelak

ul. Jasna 1
00-013 Warszawa

tel. +48 22 780 29 64

e-mail: laboratorium@emvo.pl



AB 1630

Sprawozdanie z pomiarów pól elektromagnetycznych - środowisko ogólne nr 35/06/OŚ/2020 - P4 - W



Nr i nazwa stacji	BIA3311	
Adres	Łąpy, ul. Jana Matejki 10, pow. białostocki, woj. podlaskie	
Opracowanie	Marcin Belicki	Specjalista ds. pomiarów
Autoryzacja	Andrzej Urbański	Kierownik Laboratorium
Podpis		
Data	2020-06-18	

Spis treści

1. Informacje ogólne.....	3
2. Podstawa prawna.	3
3. Opis pomiarów.....	3
4. Zróżnicowanie dopuszczalne poziomy pól elektromagnetycznych.	4
5. Charakterystyka źródeł PEM.....	4
6. Wyniki pomiarów.....	5
7. Stwierdzenie zgodności	8
8. Oświadczenie.....	8
9. Spis załączników.	8

1. Informacje ogólne.

Zleceniodawca	P4 sp. z o.o., ul. Taśmowa 7, 02-677 Warszawa osoba udzielająca informacji – Monika Jankowska
Istotne informacje dostarczone przez zleceniodawcę	komplet informacji niezbędnych do wykonania pomiarów i opracowania sprawozdania
Prowadzący instalację	P4 sp. z o.o., ul. Taśmowa 7, 02-677 Warszawa
Lokalizacja obiektu	Łapy, ul. Jana Matejki 10, pow. białostocki, woj. podlaskie
Miejsce instalacji anten	wieża kościoła
Miejsce instalacji urządzeń	outdoor
Osoby wykonujące pomiar	Łukasz Biczuk
Data wykonania pomiaru	2020-06-18
Temperatura na początku pomiaru [°C]	30
Temperatura na koniec pomiaru [°C]	30
Warunki atmosferyczne	Brak opadów.
Wilgotność na początku pomiaru [%]	52
Wilgotność na koniec pomiaru [%]	51
Inne źródła pól elektromagnetycznych	brak
Parametry pracy instalacji	eksploatacyjne

2. Podstawa prawna.

2.1 Normy i rozporządzenia:

- Rozporządzeniem Ministra Klimatu z dnia 17 lutego 2020 r. w sprawie sposobów sprawdzania dotrzymania dopuszczalnych poziomów pól elektromagnetycznych w środowisku (Dz.U. 2020 poz. 258)
- Rozporządzenie Ministra Zdrowia z dnia 17 grudnia 2019 r. w sprawie dopuszczalnych poziomów pól elektromagnetycznych w środowisku (Dz.U. 2019 poz. 2448)
- Obwieszczenie Marszałka Sejmu Rzeczypospolitej Polskiej z dnia 19 lipca 2019 r. w sprawie ogłoszenia jednolitego tekstu ustawy - Prawo ochrony środowiska (Dz.U. 2019 poz. 1396).

3. Opis pomiarów.

Metodologia pomiarowa	Pomiary w oparciu o Rozporządzeniem Ministra Klimatu z dnia 17 lutego 2020 r. w sprawie sposobów sprawdzania dotrzymania dopuszczalnych poziomów pól elektromagnetycznych w środowisku (Dz.U. 2020 poz. 258).
Cel badań	Określenie wartości natężenia pola elektrycznego w miejscach dostępnych dla ludności.
Opis zestawu pomiarowego	Miernik Narda NBM 520, Sonda EF 9091, o zakresie pomiarowym 0,8 V/m 300V/m pracująca w paśmie 80 MHz – 90 GHz, świadectwo wydane przez Laboratorium Wzorców i Metrologii Pola Elektromagnetycznego, Instytut Telekomunikacji, Teleinformatyki i Akustyki Politechniki Wrocławskiej, numer świadectwa: LWIMP/W/092/19, świadectwo ważne do 15.03.2021r. Miernik Narda NBM 520, Sonda EF 9091 pracuje w zakresie temperatury -10°C - +50°C oraz wilgotności 5%

„Bez pisemnej zgody Laboratorium niniejsze sprawozdanie nie może być powielane inaczej, jak tylko w całości. Ponadto wyniki dotyczą tylko badanych obiektów przywołanych w niniejszym sprawozdaniu z badań”

Wyposażenie pomocnicze	<p>- 95%. Niepewność rozszerzona wynosi 36,0% przy poziomie ufności 95% z uwzględnieniem współczynnika rozszerzenia $k=2$.</p> <p>Termohigrometr Bestone, typ: GM1362-EN-00, nr identyfikacyjny 1222436, świadectwo wzorcowania z dn. 03.04.2017r. wydane przez Laboratorium Pomiarowe "MUTECH".</p> <p>Przymiar wstępowy STABILA, nr seryjny 10721, świadectwo wzorcowania z dn. 19.06.2017r. wydane przez Zespół Laboratoriów wzorcujących Okręgowego Urzędu Miar w Gdańsku.</p> <p>GPS Garmin 64s okresowo sprawdzany w punktach osnowy geodezyjnej klasy 3 na podstawie licencji punktu, zgodnie z procedurą sprawdzeń okresowych IS/PO-16-11/03.</p>
Szczególne warunki podczas wykonywania pomiarów	<p>Pomiary wykonane zostały podczas obowiązywania w kraju stanu epidemii, zgodnie z art. 122a ust. 1b Ustawy z dnia 27 kwietnia 2001 r. – Prawo ochrony środowiska (Dz. U. z 2019 r. poz. 1396, z późn. zm.9))</p>

4. Zróżnicowanie dopuszczalne poziomy pól elektromagnetycznych.

Zakresy znajdują się w Dzienniku Ustaw z dnia 17 grudnia 2019 r. przedstawione są w tabeli nr 2 (Dz. U. z 2019r. poz. 2448).

Parametr fizyczny	Składowa elektryczna E (V/m)	Składowa magnetyczna H (A/m)	Gęstość mocy S (W/m ²)
Zakres Częstotliwości pola elektromagnetycznego			
od 400 MHz do 2000 MHz	$1,375 \times f^{0,5}$	$0,0037 \times f^{0,5}$	$f / 200$
od 2 GHz do 300 GHz	61	0,16	10

5. Charakterystyka źródeł PEM.

Zgodnie z informacją otrzymaną od Zleceniodawcy pomiary zostały wykonane przy ustawieniach pochylenia anten zgodnych z pkt. 13, ppkt 2 załącznika do rozporządzenia Ministra Klimatu z dnia 17 lutego 2020 roku.

Anteny sektorowe

Charakterystyka promieniowania		kierunkowa				
Rzeczywisty czas pracy [h/dobę]		24				
Rodzaj wytwarzanego pola		stacjonarne				
Lp	Wyszczególnienie	sektor 1				
I Nadajnik stacji bazowej:						
1	Typ / Producent	DBS / Huawei				
2	Częstotliwość (pasmo) MHz	2600	800	2100	1800	900
3	Maksymalna moc nadawana na sektor [dBm]	52,04	43,01	50,79	51,46	44,77
II Obciążenie:						
1	Typ anteny	Huawei ATR4518R6		Huawei ATR4518R6		
2	Producent anteny	Huawei		Huawei		
3	Ilość anten	1		1		
4	Azymut	0				
5	Zakres kątów pochylenia anten [°]	0,00-5,00				
6	Wysokość zainst. n.p.t. [m]	30,55				
7	EIRP [W]	10913		15008		

„Bez pisemnej zgody Laboratorium niniejsze sprawozdanie nie może być powielane inaczej, jak tylko w całości. Ponadto wyniki dotyczą tylko badanych obiektów przywołanych w niniejszym sprawozdaniu z badań”

Charakterystyka promieniowania		kierunkowa				
Rzeczywisty czas pracy [h/dobę]		24				
Rodzaj wytwarzanego pola		stacjonarne				
Lp	Wyszczególnienie	sektor 2				
I	Nadajnik stacji bazowej:					
1	Typ / Producent	DBS / Huawei				
2	Częstotliwość (pasmo) MHz	2100	1800	900	2600	800
3	Maksymalna moc nadawana na sektor [dBm]	50,79	51,46	44,77	52,04	43,01
II	Obciążenie:					
1	Typ anteny	Huawei ATR4518R6		Huawei ATR4518R6		
2	Producent anteny	Huawei		Huawei		
3	Ilość anten	1		1		
4	Azymut	110				
5	Zakres kątów pochylenia anten [°]	0,00-5,00				
6	Wysokość zainst. n.p.t. [m]	30,55				
7	EIRP [W]	15008		10913		

Charakterystyka promieniowania		kierunkowa				
Rzeczywisty czas pracy [h/dobę]		24				
Rodzaj wytwarzanego pola		stacjonarne				
Lp	Wyszczególnienie	sektor 3				
I	Nadajnik stacji bazowej:					
1	Typ / Producent	DBS / Huawei				
2	Częstotliwość (pasmo) MHz	2100	1800	900	2600	800
3	Maksymalna moc nadawana na sektor [dBm]	50,79	51,46	44,77	52,04	43,01
II	Obciążenie:					
1	Typ anteny	Huawei ATR4518R6		Huawei ATR4518R6		
2	Producent anteny	Huawei		Huawei		
3	Ilość anten	1		1		
4	Azymut	220				
5	Zakres kątów pochylenia anten [°]	0,00-5,00				
6	Wysokość zainst. n.p.t. [m]	30,55				
7	EIRP [W]	15008		10913		

Anteny radioliniowe

Charakterystyka promieniowania		kierunkowa					
Rzeczywisty czas pracy [h/dobę]		24					
Rodzaj wytwarzanego pola		stacjonarne					
Lp	Linia radiowa			Antena			
	typ/producent	częstotliwość pracy [GHz]	moc wyjściowa [dBm]	typ/producent	średnica anteny [m]	azymut [°]	wysokość zainstal. [m]
1	OPTIX RTN/HUAWEI	13	29	VHLPX2-13/Andrew	0,6	58	28,20

6. Wyniki pomiarów.

Wyniki pomiarów pól elektromagnetycznych dla celów ochrony środowiska przedstawia poniższa tabela. Piony pomiarowe zostały przedstawione w zał. 2.

Nr PP	Pole-E [V/m]	Pole-E*kE,+U [V/m]	Pole-H [A/m]	Pole-H*kE,+U [A/m]	Wys. pomiaru [m]	Opis pionu	Uwagi	WME	WMH
1	0,8	1,85	0,002	0,005	1,7	N: 52° 59' 25,73" E: 22° 52' 18,2"	otoczenie stacji nadawczej - ok. 50 m od obiektu wzdłuż gł. osi promieniowania - GKP	0,048	0,047
2	<0,8*	-	-	-	1,3	N: 52° 59' 27,56" E: 22° 52' 18,23"	otoczenie stacji nadawczej - ok. 100 m od obiektu wzdłuż gł. osi promieniowania - GKP	-	-
3	1,2	2,77	0,003	0,007	1,8	N: 52° 59' 28,96" E: 22° 52' 18,73"	otoczenie stacji nadawczej - ok. 150 m od obiektu wzdłuż gł. osi promieniowania - GKP	0,071	0,070
4	0,9	2,08	0,002	0,006	1,5	N: 52° 59' 30,83" E: 22° 52' 18,2"	otoczenie stacji nadawczej - ok. 200 m od obiektu wzdłuż gł. osi promieniowania - GKP	0,054	0,053
5	1,0	2,31	0,003	0,006	1,7	N: 52° 59' 32,53" E: 22° 52' 18,2"	otoczenie stacji nadawczej - ok. 250 m od obiektu wzdłuż gł. osi promieniowania - GKP	0,059	0,059
6	1,2	2,77	0,003	0,007	1,4	N: 52° 59' 34,23" E: 22° 52' 18,2"	otoczenie stacji nadawczej - ok. 300 m od obiektu wzdłuż gł. osi promieniowania - GKP	0,071	0,070
7	1,2	2,77	0,003	0,007	1,8	N: 52° 59' 35,93" E: 22° 52' 17,79"	otoczenie stacji nadawczej - ok. 350 m od obiektu wzdłuż gł. osi promieniowania - GKP	0,071	0,070
8	0,9	2,08	0,002	0,006	1,7	N: 52° 59' 22,99" E: 22° 52' 20,02"	otoczenie stacji nadawczej - ok. 50 m od obiektu wzdłuż gł. osi promieniowania - GKP	0,054	0,053
9	0,8	1,85	0,002	0,005	1,6	N: 52° 59' 22,74" E: 22° 52' 22,85"	otoczenie stacji nadawczej - ok. 100 m od obiektu wzdłuż gł. osi promieniowania - GKP	0,048	0,047
10	0,9	2,08	0,002	0,006	1,6	N: 52° 59' 22,29" E: 22° 52' 25,32"	otoczenie stacji nadawczej - ok. 150 m od obiektu wzdłuż gł. osi promieniowania - GKP	0,054	0,053
11	0,9	2,08	0,002	0,006	1,4	N: 52° 59' 22,08" E: 22° 52' 28"	otoczenie stacji nadawczej - ok. 200 m od obiektu wzdłuż gł. osi promieniowania - GKP	0,054	0,053
12	1,3	3,01	0,003	0,008	1,8	N: 52° 59' 20,97" E: 22° 52' 30,03"	otoczenie stacji nadawczej - ok. 250 m od obiektu wzdłuż gł. osi promieniowania - GKP	0,077	0,076
13	1,5	3,47	0,004	0,009	1,3	N: 52° 59' 20,54" E: 22° 52' 32,43"	otoczenie stacji nadawczej - ok. 300 m od obiektu wzdłuż gł. osi promieniowania - GKP	0,089	0,088
14	1,2	2,77	0,003	0,007	1,6	N: 52° 59' 20,32" E: 22° 52' 35,02"	otoczenie stacji nadawczej - ok. 350 m od obiektu wzdłuż gł. osi promieniowania - GKP	0,071	0,070
15	<0,8*	-	-	-	1,8	N: 52° 59' 22,73" E: 22° 52' 16,57"	otoczenie stacji nadawczej - ok. 50 m od obiektu wzdłuż gł. osi promieniowania - GKP	-	-
16	0,9	2,08	0,002	0,006	1,8	N: 52° 59' 21,45" E: 22° 52' 17,39"	otoczenie stacji nadawczej - ok. 100 m od obiektu wzdłuż gł. osi promieniowania - GKP	0,054	0,053
17	0,8	1,85	0,002	0,005	1,7	N: 52° 59' 20,13" E: 22° 52' 13,33"	otoczenie stacji nadawczej - ok. 150 m od obiektu wzdłuż gł. osi promieniowania - GKP	0,048	0,047
18	0,9	2,08	0,002	0,006	1,3	N: 52° 59' 18,82" E: 22° 52' 11,7"	otoczenie stacji nadawczej - ok. 200 m od obiektu wzdłuż gł. osi promieniowania - GKP	0,054	0,053
19	0,9	2,08	0,002	0,006	1,3	N: 52° 59' 17,52" E: 22° 52' 10,08"	otoczenie stacji nadawczej - ok. 250 m od obiektu wzdłuż gł. osi promieniowania - GKP	0,054	0,053
20	0,8	1,85	0,002	0,005	1,4	N: 52° 59' 16,22" E: 22° 52' 8,46"	otoczenie stacji nadawczej - ok. 300 m od obiektu wzdłuż gł. osi promieniowania - GKP	0,048	0,047
21	0,9	2,08	0,002	0,006	1,9	N: 52° 59' 14,92" E: 22° 52' 6,84"	otoczenie stacji nadawczej - ok. 350 m od obiektu wzdłuż gł. osi promieniowania - GKP	0,054	0,053
22	0,8	1,85	0,002	0,005	1,4	N: 52° 59' 25,16" E: 22° 52' 20,19"	otoczenie stacji nadawczej - ok. 50 m od obiektu wzdłuż gł. osi promieniowania - GKP	0,048	0,047
23	0,9	2,08	0,002	0,006	1,9	N: 52° 59' 25,83" E: 22° 52' 22,48"	otoczenie stacji nadawczej - ok. 100 m od obiektu wzdłuż gł. osi promieniowania - GKP	0,054	0,053
24	0,8	1,85	0,002	0,005	1,9	N: 52° 59' 26,73" E: 22° 52' 24,62"	otoczenie stacji nadawczej - ok. 150 m od obiektu wzdłuż gł. osi promieniowania - GKP	0,048	0,047
25	0,8	1,85	0,002	0,005	1,6	N: 52° 59' 29,06" E: 22° 52' 19,65"	otoczenie stacji nadawczej - PKP	0,048	0,047
26	0,9	2,08	0,002	0,006	2,0	N: 52° 59' 27,2" E: 22° 52' 19,41"	otoczenie stacji nadawczej - PKP	0,054	0,053
27	0,8	1,85	0,002	0,005	1,8	N: 52° 59' 24,02" E: 22° 52' 23,24"	otoczenie stacji nadawczej - PKP	0,048	0,047
28	0,9	2,08	0,002	0,006	2,0	N: 52° 59' 23,88" E: 22° 52' 25,57"	otoczenie stacji nadawczej - PKP	0,054	0,053
29	<0,8*	-	-	-	1,3	N: 52° 59' 21,33" E: 22° 52' 24,56"	otoczenie stacji nadawczej - PKP	-	-

30	0,8	1,85	0,002	0,005	1,8	N: 52° 59' 21,66" E: 22° 52' 22,11"	otoczenie stacji nadawczej - PKP	0,048	0,047
31	0,9	2,08	0,002	0,006	1,5	N: 52° 59' 22,3" E: 22° 52' 18,77"	otoczenie stacji nadawczej - PKP	0,054	0,053
32	0,8	1,85	0,002	0,005	1,3	N: 52° 59' 20,32" E: 22° 52' 16,9"	otoczenie stacji nadawczej - PKP	0,048	0,047
33	0,8	1,85	0,002	0,005	1,6	N: 52° 59' 19,57" E: 22° 52' 14,44"	otoczenie stacji nadawczej - PKP	0,048	0,047
34	0,8	1,85	0,002	0,005	1,4	N: 52° 59' 28,85" E: 22° 52' 15,83"	otoczenie stacji nadawczej - PKP	0,048	0,047
35	0,9	2,08	0,002	0,006	1,7	N: 52° 59' 21,21" E: 22° 52' 12,03"	otoczenie stacji nadawczej - PKP	0,054	0,053
36	0,8	1,85	0,002	0,005	1,7	N: 52° 59' 22,7" E: 22° 52' 13,43"	otoczenie stacji nadawczej - PKP	0,048	0,047
37	0,8	1,85	0,002	0,005	1,5	N: 52° 59' 24,5" E: 22° 52' 15,64"	otoczenie stacji nadawczej - PKP	0,048	0,047
38	0,9	2,08	0,002	0,006	1,4	N: 52° 59' 27,32" E: 22° 52' 16,18"	otoczenie stacji nadawczej - PKP	0,054	0,053
A	1,8	4,16	0,005	0,011	1,3	-	Kościół, pomiar przed wejściem - DPP	0,107	0,105
B	<0,8*	-	-	-	1,5	-	ul. Matejki 10, pomiar na I piętrze przy oknie - DPP	-	-
C	0,9	2,08	0,002	0,006	1,6	-	ul. Matejki 10, szkoła, pomiar przed wejściem - DPP	0,054	0,053
D	<0,8*	-	-	-	1,3	-	ul. Matejki 15, pomiar przed wejściem - DPP	-	-
E	<0,8*	-	-	-	1,7	-	ul. Matejki 7, pomiar przed wejściem - DPP	-	-
F	0,8	1,85	0,002	0,005	1,8	-	ul. Matejki 13, pomiar przed wejściem - DPP	0,048	0,047
G	0,9	2,08	0,002	0,006	1,8	-	ul. Matejki 15, pomiar przed wejściem - DPP	0,054	0,053
H	<0,8*	-	-	-	1,2	-	ul. Matejki 12, pomiar przed wejściem - DPP	-	-
I	1,0	2,31	0,003	0,006	1,8	-	ul. Matejki 9, pomiar przed wejściem - DPP	0,059	0,059
J	<0,8*	-	-	-	1,7	-	ul. Matejki 13, pomiar przed wejściem - DPP	-	-
K	<0,8*	-	-	-	1,7	-	ul. Matejki 9B, pomiar przed wejściem - DPP	-	-
L	<0,8*	-	-	-	1,7	-	ul. Matejki 13B, pomiar przed wejściem - DPP	-	-
M	<0,8*	-	-	-	1,2	-	ul. Szpitalna 8B, pomiar przed wejściem - DPP	-	-
N	<0,8*	-	-	-	1,3	-	ul. Matejki 13C, pomiar przed wejściem - DPP	-	-
O	0,9	2,08	0,002	0,006	2,0	-	ul. Szpitalna 1, pomiar przed wejściem - DPP	0,054	0,053
P	<0,8*	-	-	-	1,6	-	ul. Szpitalna 6, pomiar przed wejściem - DPP	-	-
Q	<0,8*	-	-	-	1,7	-	ul. Szpitalna 4A, pomiar przed wejściem - DPP	-	-
R	<0,8*	-	-	-	1,6	-	ul. Szpitalna 2, pomiar przed wejściem - DPP	-	-
S	<0,8*	-	-	-	2,0	-	ul. Bohaterów Westerplatte 14, pomiar na IV piętrze na klatce schodowej - DPP	-	-
T	0,8	1,85	0,002	0,005	1,2	-	ul. Matejki 3A, pomiar przed wejściem - DPP	0,048	0,047
U	<0,8*	-	-	-	1,3	-	ul. Maczka 3, pomiar przed wejściem - DPP	-	-
V	<0,8*	-	-	-	1,2	-	ul. Maczka 6, pomiar przed wejściem - DPP	-	-
W	<0,8*	-	-	-	1,4	-	ul. Chełmońskiego 2, pomiar na II piętrze - DPP	-	-
X	<0,8*	-	-	-	1,5	-	ul. Chełmońskiego 4, pomiar przed wejściem - DPP	-	-
Y	<0,8*	-	-	-	1,5	-	ul. Chełmońskiego 6, pomiar przed wejściem - DPP	-	-
Z	<0,8*	-	-	-	1,4	-	ul. Chełmońskiego 3, pomiar przed wejściem - DPP	-	-
ZA	<0,8*	-	-	-	1,8	-	ul. Pankiewicza 5, pomiar przed wejściem - DPP	-	-
ZB	0,9	2,08	0,002	0,006	1,4	-	ul. Główna 79, pomiar przed wejściem - DPP	0,054	0,053
ZC	0,8	1,85	0,002	0,005	1,5	-	ul. Główna 86, pomiar przed wejściem - DPP	0,048	0,047
ZD	1,2	2,77	0,003	0,007	1,5	-	ul. Główna 86A, pomiar przed wejściem - DPP	0,071	0,070
ZE	<0,8*	-	-	-	1,6	-	ul. Korczaka 11, pomiar przed wejściem - DPP	-	-

„Bez pisemnej zgody Laboratorium niniejsze sprawozdanie nie może być powielane inaczej, jak tylko w całości. Ponadto wyniki dotyczą tylko badanych obiektów przywołanych w niniejszym sprawozdaniu z badań”
35/06/OŚ/2020 - P4 - W

ZF	<0,8*	-	-	-	1,7	-	ul. Korczaka 9, pomiar przed wejściem - DPP	-	-
ZG	0,9	2,08	0,002	0,006	1,3	-	ul. Makowskiego 3, pomiar przed wejściem - DPP	0,054	0,053
ZH	1,2	2,77	0,003	0,007	1,6	-	ul. Korczaka 23, pomiar przed wejściem - DPP	0,071	0,070

* poniżej czułości zestawu pomiarowego

GKP – główne kierunki pomiarowe

PKP – pomocnicze kierunki pomiarowe

DPP – dodatkowe punkty pomiarowe

PP – pion pomiarowy

U – niepewność pomiarowa dla współczynnika rozszerzenia $k=2$

k_{ϵ} – poprawka pomiarowa badanej instalacji radiokomunikacyjnej podana przez operatora ($k_{\epsilon}=1,70$),

poprawka pomiarowa w przypadku oddziaływania innych instalacji radiokomunikacyjnych na badany obszar ($k_{\epsilon}=2,0$)

WME – wartość wskaźnikowa poziomu emisji pól elektromagnetycznych dla miejsc dostępnych dla ludności dla składowej elektrycznej pola

WMH – wartość wskaźnikowa poziomu emisji pól elektromagnetycznych dla miejsc dostępnych dla ludności dla składowej magnetycznej pola

Przyjęto najniższą dopuszczalną wartość składowej elektrycznej pola dla objętego pomiarami zakresu częstotliwości $\min(ME_{gr})=38,89$ V/m oraz składowej magnetycznej $\min(MH_{gr})=0,105$ A/m.

7. Stwierdzenie zgodności

Na podstawie wytycznych podanych w Rozporządzeniu Ministra Zdrowia z dnia 17 grudnia 2019 r. w sprawie dopuszczalnych poziomów pól elektromagnetycznych w środowisku (Dz.U. 2019 poz. 2448) oraz sposobów sprawdzania dotrzymania tych poziomów zgodnie z Rozporządzeniem Ministra Klimatu z dnia 17 lutego 2020 r. w sprawie sposobów sprawdzania dotrzymania dopuszczalnych poziomów pól elektromagnetycznych w środowisku (Dz.U. 2020 poz. 258) dotyczących źródła wymagań, które muszą być spełnione (załącznik do rozporządzenia Ministra Klimatu z dnia 17 lutego 2020 r. (poz. 258)), w oparciu o zasadę podejmowania decyzji zgodną z pkt 26 załącznika do rozporządzenia Ministra Klimatu z dnia 17 lutego 2020 r. (poz. 258), na podstawie wyników pomiarów pól elektromagnetycznych wykonanych w dniu 18.06.2020r. stwierdzono, iż w miejscach dostępnych dla ludności, dopuszczalne poziomy pól elektromagnetycznych w środowisku, określone w przepisach wydanych na podstawie art. 122 ust. 1 ustawy z dnia 27 kwietnia 2001 r. – Prawo ochrony środowiska, uznaje się za dotrzymane w obszarze pomiarowym, w którym w wyniku zastosowania sposobu sprawdzenia dotrzymania dopuszczalnych poziomów pól elektromagnetycznych w środowisku, udokumentowano, że żadna z wartości wskaźnikowych nie przekracza wartości 1.

8. Oświadczenie.

Wyniki badania odnoszą się wyłącznie do badanego obiektu.

Bez pisemnej zgody sprawozdanie nie może być powielane inaczej, jak tylko w całości.

Uwagi i zastrzeżenia przyjmowane są w formie pisemnej w ciągu 14 dni od daty otrzymania sprawozdania.

9. Spis załączników.

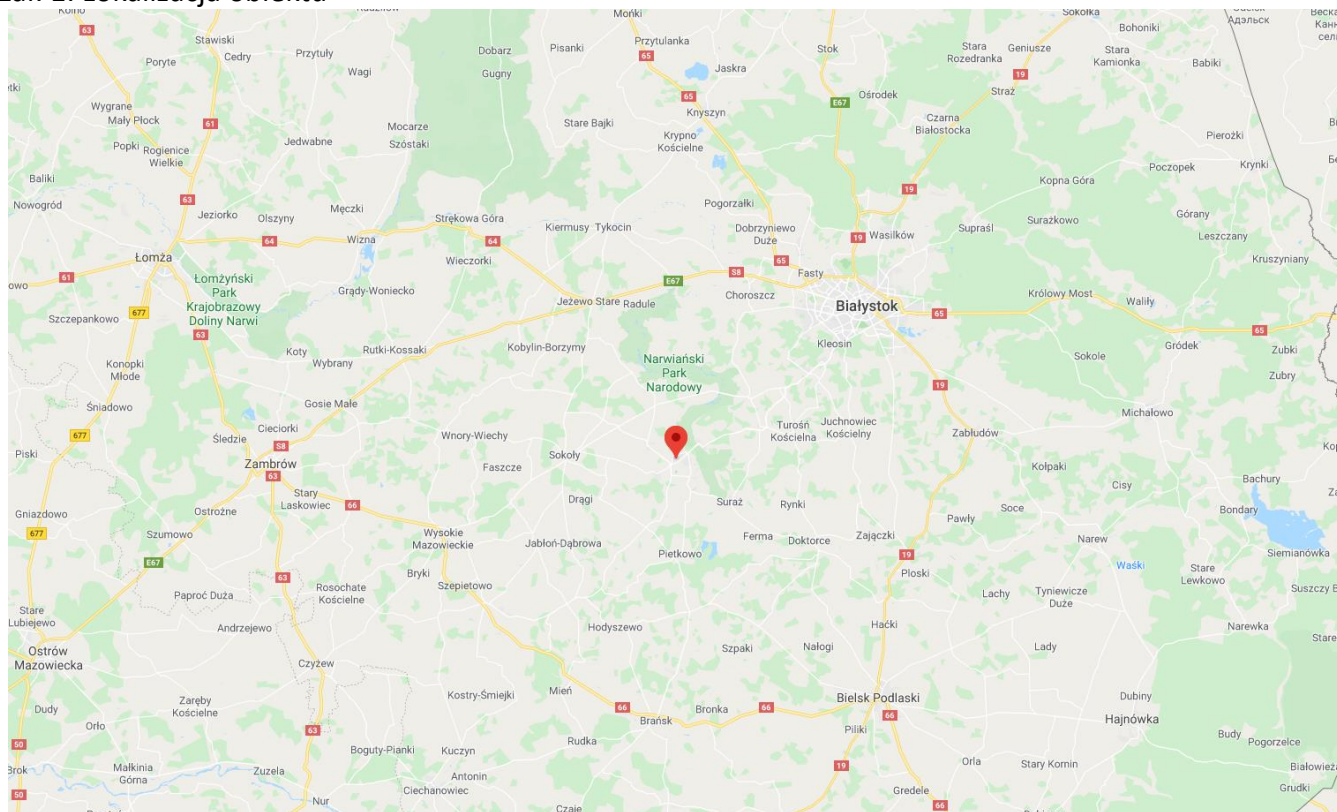
Zał. 1. Lokalizacja obiektu.

Zał. 2. Widok pionów pomiarowych

Zał. 3. Załączniki graficzne.

Koniec sprawozdania

Załącznik 1. Lokalizacja obiektu



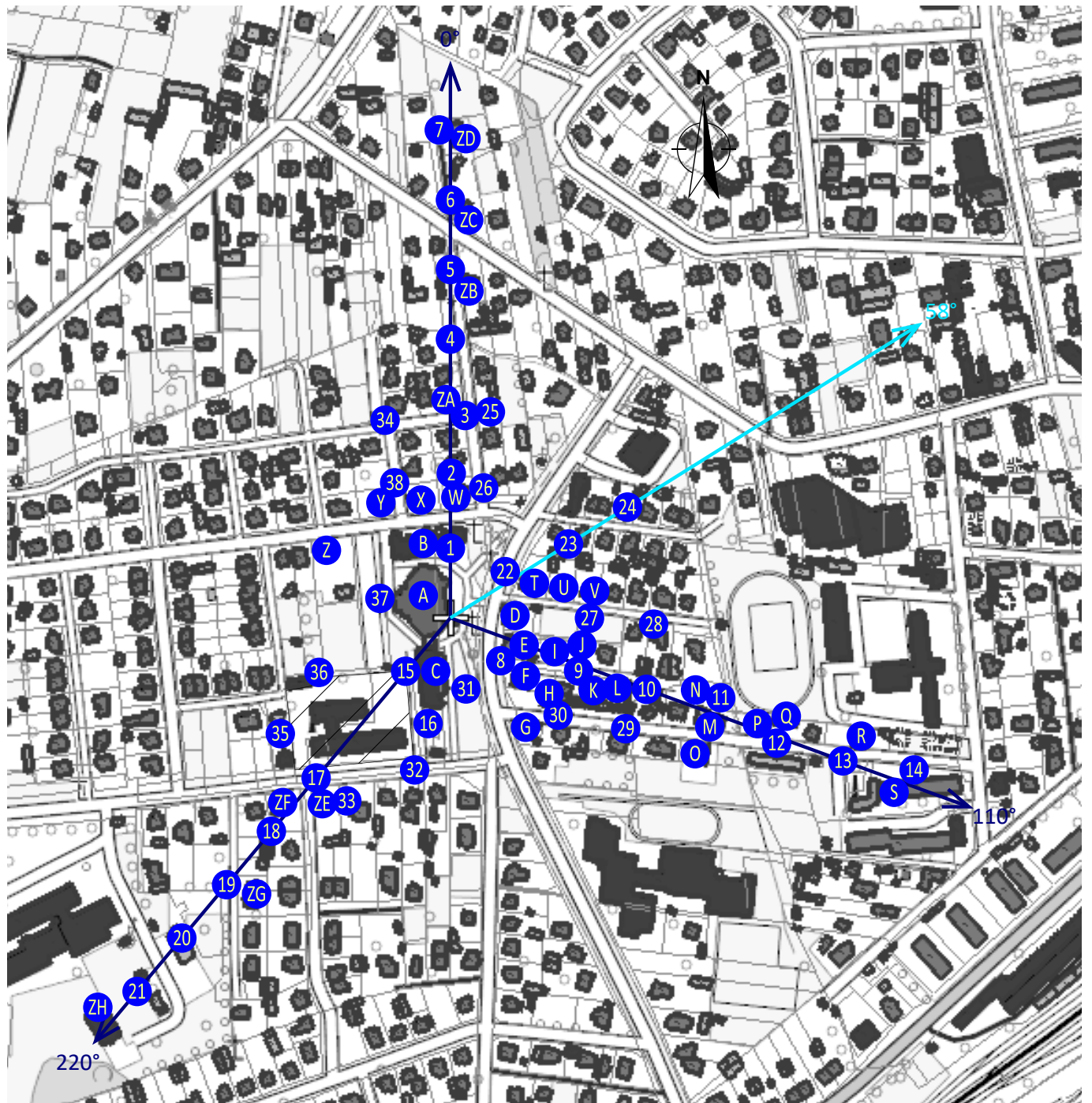
województwo: podlaskie

Współrzędne geograficzne



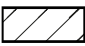



długość: E: 22° 52' 18,2"

szerokość: N: 52° 59' 24,03"

Zał. 2. Widok pionów pomiarowych



LEGENDA:

- | | | | |
|---|------------------------------------|---|--|
|  | inna instalacja radiokomunikacyjna |  | punkt pomiarowy z poprawką pomiarową podaną przez operatora |
|  | brak dostępu |  | punkt pomiarowy będący w zasięgu innych instalacji radiokomunikacyjnych z poprawką pomiarową 2,0 |
| | |  | antena sektorowa |
| | |  | antena radioliniowa |

Odległość, do której zostały wykonane pomiary mierząc od instalacji antenowej wynosi min. 306 m.

Skala: 1:4300

Załącznik 3. Załączniki graficzne.

